## •腹部影像学•

# 扩散张量成像对慢性肾脏病早期肾损害的评价

邓义, 由慧敏, 杨壁然, 彭艳, 袁旭芳, 唐亚霞

【摘要】目的:探讨 MR 扩散张量成像(DTI)评价慢性肾脏病(CKD)早期肾损害的临床应用价值。方法: A 组,健康对照组 12 例; B 组 CKD 危险因素组,13 例; C 组  $1\sim3$  期 CKD 患者 18 例。所有受试者均行 1.5 T MR DTI,测量各向异性分数(FA)和表观扩散系数(ADC)。搜集各组的临床指标:估算肾小球滤过率 (eGFR)和血清脱抑素 C(CysC)、血肌酐(Scr)。分析三组间的 DTI 参数差异及其与临床指标的相关性。结果: A 组、B 组和 C 组肾脏皮质 FA 分别为  $0.18\pm0.04$ ,  $0.17\pm0.03$ ,  $0.16\pm0.03$ , 髓质 FA 分别为  $0.37\pm0.04$ ,  $0.34\pm0.06$ ,  $0.30\pm0.03$ , 差异有统计学意义(P<0.05)。皮质 ADC 值分别为  $(2.38\pm0.19)\times10^{-3}$  mm²/s,  $(2.26\pm0.16)\times10^{-3}$  mm²/s,  $(2.17\pm0.24)\times10^{-3}$  mm²/s, 差异有统计学意义(P<0.05)。肾脏皮质 FA、髓质 FA 与 eGFR 呈正相关(r=0.373、0.418, P<0.05)。 髓质 FA 与 CysC 呈负相关(r=-0.427, P<0.05)。皮质 ADC 与 eGFR 呈正相关(r=0.401, P<0.05)。皮质 ADC 与 Scr 呈负相关(r=-0.388, P<0.05)。 受试者操作特征(ROC)曲线分析,以髓质 FA  $\leq 0.327$  为界值,诊断早期 CKD 的敏感度为 78.57%,特异度为 94.44%,曲线下面积(AUC)为 0.891,诊断效能较好。皮质 FA 诊断 CKD 肾损害的效能一般,AUC 为 0.774。结论: 肾脏 DTI 可以早期发现 CKD 患者和 CKD 危险因素患者的肾损害,髓质 FA 值诊断早期 CKD 的效能较高。

【关键词】 慢性肾脏病; 磁共振成像; 扩散张量成像

【中图分类号】R445.2;R692 【文献标识码】A 【文章编号】1000-0313(2018)07-0722-04 DOI:10.13609/j.cnki.1000-0313.2018.07.014 开放科学(资源服务)标识码(OSID):



MR diffusion tensor imaging in the evaluation of early renal damage in chronic kidney disease DENG Yi, YOU Hui-min, YANG Bi-ran, et al. Medical imaging department, the Fifth Affiliated Hospital of Guangzhou Medical University, Guangzhou 510700, China

[Abstract] Objective: To evaluate the clinical value of MR diffusion tensor imaging (DTI) in the evaluation of early renal damage in chronic kidney disease (CKD). **Methods:** This study included 3 groups:Group A, healthy control group, 12 cases; Group B, patients with risk factors of CKD, 13 cases; Group C, patients with phase  $1 \sim 3$  CKD, 18 cases. All of the subjects undertook MR DTI with a 1.5T MR equipment. The anisotropy fraction (FA) and apparent diffusion coefficient (ADC) values were measured. The clinical parameters included eGFR and CysC, Scr were collected. The differences of DTI values in these 3 groups as well as the correlation with clinical parameters were analyzed. **Results:** The FA value of renal cortex in Group A, Group B and C was  $0.18 \pm 0.04$ ,  $0.17 \pm 0.03$ , and  $0.16\pm0.03$  respectively; the FA value of renal medullary was  $0.37\pm0.04$ ,  $0.34\pm0.06$ ,  $0.30\pm0.03$ respectively, with significant statistic difference (P < 0.05). The ADC value of renal cortex was  $(2.38\pm0.19)\times10^{-3}\,\mathrm{mm^2/s}$ ,  $(2.26\pm0.16)\times10^{-3}\,\mathrm{mm^2/s}$ ,  $(2.17\pm0.24)\times10^{-3}\,\mathrm{mm^2/s}$  respectively, with significant statistic difference ( $P \le 0.05$ ). Positive correlation was existed between FA of renal cortex, FA of medullary and eGFR (r=0.373 and 0.418 respectively, P<0.05). The FA value of medullary was negatively correlated with CysC (r = -0.427, P < 0.05). The ADC value of cortex was positively correlated with eGFR (r=0.401, P<0.05); whereas, which was negatively correlated with Scr (r=-0.388, P<0.05). Using ROC curve and taking the FA value of medullary  $\leq 0.327$  as the cutoff point, the sensitivity of primary CKD was 78.57%, specificity was 94.44%, and the area under the curve (AUC) was 0.891, with a better efficacy in diagnosis. The AUC of FA value of renal cortex was 0.774, which was just fair in the diagnosis of renal injury in CKD. **Conclusion:** Patients with early renal damage and risk factors of CKD could be detected by renal MR DTI the FA value of medullary had a better efficacy in the diagnosis of early phase CKD.

[Key words] Chronic kidney disease; Magnetic resonance imaging; Diffusion tensor imaging

慢性肾脏病(chronic kidney disease, CKD)具有 高发病率、高致残率,病情具有隐匿性、进行性、难治性 的特点,因此早诊断、早治疗非常重要。目前常规影像 学检查方法如超声、CT和静脉肾盂造影,主要提供肾 脏形态学信息,提供的肾脏功能信息有限。对比剂存 在肾损害的风险,肾活检对肾脏病的诊断、指导治疗和 判断疾病预后均有重要价值,但是肾活检也存在一些 禁忌症,具有创伤性,有出现并发症的风险,很难在临 床上进行随访监测,并且容易受到采样误差的影响。 核素肾动态显像检测肾小球滤过率,敏感度和重复性 较好,但是具有辐射,并且在 CKD 早期 GFR 可以是 正常的。尿微量白蛋白、肌酐等检查难以早期发现肾 损害。近年来,研究发现血清胱抑素 C(CysC)的水平 可作为了解早期肾损害的一个重要指标,已逐渐应用 于临床[1-2],但是其不能分别评价左肾和右肾功能情 况。因此,探讨不使用对比剂并且能够早期无创性检 测肾脏损害的影像学方法具有非常重要的意义。

扩散张量成像(diffusion tensor imaging, DTI)能够反映组织内水分子扩散运动和其方向性,能够获得常规 MRI 所不能提供的组织微观结构信息,从而对了解人体脏器的生理学及病理生理学机制提供了新的方法,DTI 技术也逐步应用于肾脏临床研究<sup>[3]</sup>。研究发现对于早期的慢性肾功能损害患者,基于 CysC 联合scr 的 CKD-EPI 方程计算的 eGFR 的准确率大于改良的 MDRD 方程<sup>[4]</sup>。本文采用基于 CysC 联合 scr 的 CKD-EPI 方程计算的 eGFR 进行分组,探讨扩散张量成像早期发现 CKD 患者肾损害的临床价值。能否在患 CKD 之前的危险人群中更早的发现肾脏的异常,也是期待解决的临床问题。

#### 材料与方法

### 1. 一般资料

A组健康对照组12例,男5例,女7例,年龄28~56岁,平均43岁,无肾脏疾病史,无高血压、高血脂、高血糖等病史,实验室检查尿微量白蛋白、血肌酐、CysC等指标正常,影像学常规检查无异常。近3个月无肾毒性药物服用史。B组CKD危险因素组13例,男6例,女7例,年龄35~62岁,平均49岁,患者有高血糖、高血脂、高血压等CKD危险因素;实验室检查尿微量白蛋白、血肌酐、CysC等指标正常,影像学常规检查无异常。C组根据2012年改善全球肾脏病预后

组织(KDIGO)发布的《CKD 评估与管理临床实践指南》中的 CKD 诊断标准,在本院内分泌科和肾内科临床确诊的 1~3 期 CKD 患者 18 例。三个组的研究对象化验检查与磁共振检查时间间隔小于 4 天。所有受检者均为 2016 年 7 月 - 2017 年 6 月在本院就诊者,按就诊顺序随机纳入研究。本研究得到医院伦理委员会批准,所有接受检查者均知情同意。

#### 2. 检查设备和方法

采用 Siemens Avanto1. 5T MR 扫描仪,6 通道体线圈,先进行双侧肾脏常规 MR 平扫,包括横轴面  $T_1$ WI、 $T_2$ WI、冠状面  $T_2$ WI 压脂序列。DTI 扫描参数:肾脏冠状面 EPI 序列,平稳自由呼吸状态扫描,TR 3400 ms, TE 98 ms, NEX 1,加速因子 2, EPI 因子 125,层厚 5 mm,层距 1 mm,视野 380 mm,矩阵 192× 125,0、800 s/mm² 两个 b 值,扩散敏感梯度脉冲 12 个方向。DTI 扫描时间 2 分 58 秒。

## 3. 图像后处理

采用 Siemens syngo. via 后处理工作站对 DTI 图像进行后处理,工作站软件自动生成 FA 图、ADC 图及 DWI 图。在 FA 灰白图上和 b=0 的 DWI 图像上,选择肾门区皮髓质分界清楚的层面放置兴趣区(ROI),在肾脏上、中、下极的皮质和髓质手工放置共6个圆形 ROI,避开肾窦组织和伪影,ROI 大小为 8~12 mm²,取其平均值。分别测量双肾皮质和髓质的ADC 值及 FA 值。由两名经验丰富的 MR 诊断医师在盲法下进行测量。

#### 4. 统计学处理

采用 SPSS 16.0 软件进行数据分析,计量资料用  $(x\pm s)$ 表示,完全随机设计的多个样本均数的方差分析、Pearson 相关性分析。FA 值诊断早期 CKD 的诊断效能分析,采用 medcalc 15.8 软件进行统计分析。以 P<0.05 为差异有统计学意义。

#### 结 果

三组共 43 例顺利进行了 DTI 研究,图像质量均能满足诊断要求(图  $1\sim3$ ),共获得 86 个肾脏图像数据(表  $1\sim3$ )。

经过配对样本的 t 检验,A、B、C 三组的双侧肾脏 FA 和 ADC 值差异无统计学意义,故将各组双肾的数 据统一进行统计学分析。采用完全随机设计的多个样 本均数比较的方差分析比较三组的皮、髓质 FA 值和

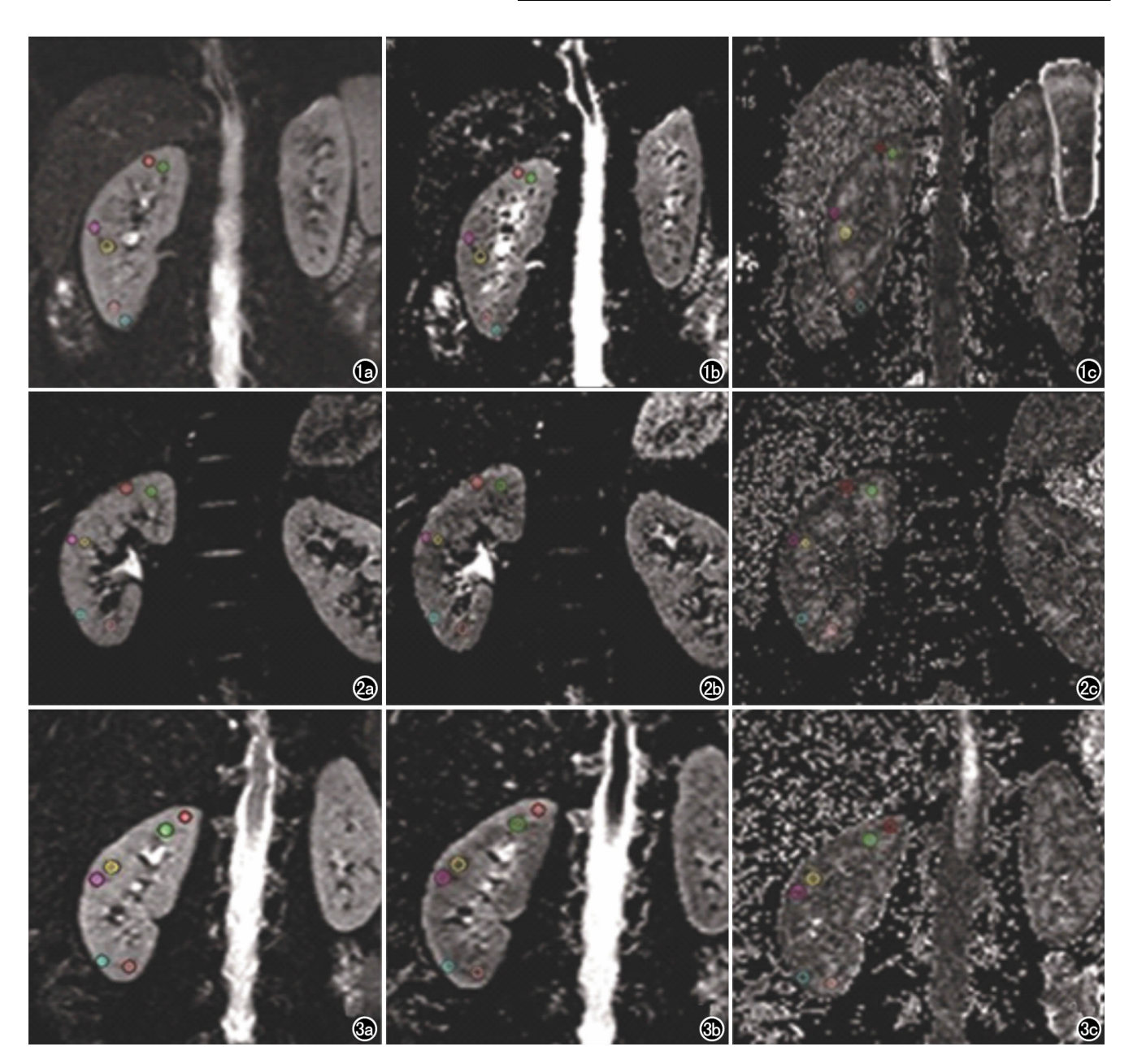


图 1 健康志愿者, b=0s/mm²。a) DWI 图; b) ADC 图; c) FA 图显示皮髓质分界清楚。 图 2 CKD 危险因素者, b=0s/mm²。a) DWI 图; b) ADC 图; c) FA 图显示皮髓质分界较清楚。 图 3 CKD [[ 期患者的, b=0s/mm²。a) DWI 图; b) ADC 图; c) FA 图显示皮髓质分界欠清晰, 但仍能分辨。

ADC 值(表 1)。

表 1 三组测量的肾脏皮质、髓质的 FA 值和 ADC 值分析

参数	A 组 (n=12)	B组 (n=13)	C组 (n=18)	F	P
皮质 FA	0.19 0.04	$0.17 \pm 0.03$	$0.16 \pm 0.03$	3.329	0.044
髓质 FA	0.37 0.04	$0.34 \pm 0.06$	$0.30 \pm 0.03$	6.221	0.004
皮质 ADC	2.38 0.19	$2.26 \pm 0.16$	$2.17 \pm 0.24$	5.022	0.011
髓质 ADC	$2.15 \pm 0.09$	$2.11 \pm 0.10$	$2.07 \pm 0.20$	1.458	0.243

经 Levene 法进行方差齐性检验,各组皮质 FA、各组皮质 ADC 和各组髓质 ADC 方差齐,进行多个样本均数的 SNK 两两比较。A 组的皮质 FA 值高于 B 组和 C 组,B 组和 C 组的皮质 FA 值差异无统计学意义。A 组的皮质 ADC 值高于 B 组和 C 组,但 B 组和

C组的皮质 ADC 值差异无统计学意义。A、B、C 三组的髓质 ADC 值差异无统计学意义。各组髓质 FA 值方差不齐,选择 Tamhane、ST2 法,A 组与 C 组差异有统计学意义(P=0.000),A 组和 B 组、B 组和 C 组差异无统计学意义(P=0.225、0.263)。

分析三组共 43 例研究对象的双侧肾脏 FA 和ADC值,经 Pearson 相关分析,肾脏皮髓质 FA 与eGFR呈正相关,髓质 FA 与 CysC 呈负相关(表 2)。皮质 ADC 与 eGFR呈正相关;皮质 ADC 与 Scr 呈负相关。皮髓质 FA 和髓质 ADC 值与 Scr 值的无明显相关性。皮质 FA 和皮髓质 ADC 与 CysC 值的无明显相关性。

表 2 肾脏皮质、髓质 FA 值和 ADC 值与 eGFR、Scr、CysC 的相关性

参数	eGFR		Scr		CysC	
	r 值	P 值	r 值	P 值	r 值	P 值
皮质 FA	0.373	0.007	-0.133	0.351	-0.209	0.214
髓质 FA	0.418	0.002	-0.148	0.299	-0.427	0.007
皮质 ADC	0.401	0.004	-0.388	0.015	0.085	0.619
髓质 ADC	0.146	0.133	-0.247	0.084	0.259	0.122

根据 A 组健康志愿者和 C 组  $1\sim3$  期 CDK 患者的临床和肾穿刺活检为诊断标准,分析 DTI 的诊断效能,C 组包括糖尿病肾病 14 例,原发性肾小球肾炎 4 例。以肾脏髓质  $FA \leq 0.327$  为界值,诊断早期 CKD的敏感度为 78.57%,特异度为 94.44%,曲线下面积 (area under curv, AUC)为 0.891,诊断效能较高(表 3)。

表 3 肾脏 DTI FA 值诊断 1~3 期 CKD 肾损害的诊断效能

参数	诊断 界值	尤登 指数	敏感度 (%)	特异度 (%)	AUC (95% 可信区间)
皮质 FA	<b>≪</b> 0.171	0.5238	85.71	66.67	$0.774$ $(0.677 \sim 0.892)$
髓质 FA	<b>≪</b> 0.327	0.7301	78.57	94.44	$0.891$ $(0.794 \sim 0.962)$

#### 讨论

既往 DTI 应用于肾脏病肾功能的研究<sup>[5-8]</sup>显示病例组肾脏的皮髓质 FA 和 ADC 值低于正常对照组,但是 FA 值和 ADC 值与 Scr、eGFR 是否存在相关性,各研究结果并不一致<sup>[7-9]</sup>,可能是由于机型、扫描参数、测量方法不同所致。既往研究采用的 b 值多数小于800。本研究采用 b 值 0、800s/mm²,因 b 值越高,越能真实的反映水分子的扩散运动状态。

本研究发现所有受检者的肾脏髓质 FA 高于皮质 FA,皮质 ADC 高于髓质 ADC,这与肾脏的组织结构 特点和生理功能有关系,表明髓质的水分子运动方向 性较强,皮质的水分子含量丰富,并且髓质的水分子扩散受限相对于皮质较为明显。这一研究结果与以前的相关研究结果相符[10-11]。

本研究发现健康志愿者、CKD 危险人群组、CKD 患者的肾脏的皮质 FA、髓质 FA 值、皮质 ADC 值逐步减小,三组的差异具有统计学意义。表明 DTI 测量 FA 值和 ADC 值可以反映肾组织微观结构和功能的变化,而这种变化早于形态学改变。

肾脏皮质 FA、髓质 FA 值与 eGFR 具有相关性,其中髓质 FA 与 eGFR 的相关性最高,并且髓质 FA 与血清 CysC 呈负相关。受试者工作特征曲线分析,以髓质 FA ≤ 0.327 为界值,诊断 CKD,曲线下面积 (AUC)为 0.891,敏感度为 78.57%,特异度为94.44%,诊断效能较好,表明肾脏 FA 值,特别是髓质 FA 在评估 CKD 的早期损害中具有临床应用价值,其机理可能是由于肾髓质在正常状态下水分子运动具有明显方向性,但在 CKD 的情况下,由于受到缺血缺氧

等病理性因素的影响,FA 更易表现出变化。

肾脏皮质 ADC 值与 Scr 呈负相关,与 eGFR 呈正相关,这说明肾皮质 ADC 值能够反映出 CKD 患者肾功能状态水平。A 组的皮质 ADC 值高于 B 组和 C 组,但 B 组和 C 组的皮质 ADC 值差异无统计学意义。结果表明肾脏皮质 ADC 可能在实验室检查指标出现异常之前,更早检测出肾脏的结构和功能的异常。提示对于患糖尿病、高血脂、高血压,但目前没有证据证实有肾损害的患者早期开展 MR 筛查,可能能够为临床干预提供影像学依据。

本研究采用自由呼吸状态下的 DTI, 优势在于扫描时间短, 受检者容易配合完成检查, 但对于图像质量可能有一定的影响, 但是不影像图像分析和临床应用。本研究没有具体细分不同原因导致的 CKD; 由于样本量不是很大, 未对早期 CKD 进行更加细致的分层研究, 在今后的研究当中需要扩大样本量进一步研究。

综上所述,应用肾脏 DTI 技术可以早期发现 CKD 患者肾功能的改变,可以早期检测到 CKD 前期 的危险因素患者的肾脏的结构和功能异常,有助于早期采取干预措施。

#### 参考文献:

- [1] 喻垚,林一民,傅小燕,等.血清血清胱抑素 C 检测诊断老年肾功能损伤的临床价值[J].中国老年学杂志,2017,37(6):1480-1482.
- [2] 刘素华. 血清血清胱抑素 C 对早期肾功能损害检测的灵敏度及临床价值分析 [J]. 检验医学与临床,2015,12(22):3376-3377,3380.
- [3] 张大福,丁莹莹,王关顺.扩散张量成像在肾脏的应用进展[J]. 放射学实践,2014,29(12):1486-1488.
- [4] 宋佳,姚瀚鑫,孙淑艳. 2012 年新发表 CKD-EPI 方程与其他两个方程的适用性比较[J]. 中国实验诊断学,2016,20(2);255-259.
- [5] 俞璐,刘强,程赛楠,等.扩散张量成像对糖尿病患者肾脏功能的研究[J]. 医学影像学杂志,2016,26(2):276-279.
- [6] 杨玲,赵爽,胡雅君,等. 原发性高血压所致肾脏早期改变的 3.0T 功能磁共振研究[J]. 生物医学工程学杂志,2014,31(5):1111-1116.1120.
- [7] Wang WJ, Pui MH, Guo Y, et al. 3T magnetic resonance diffusion tensor imaging in chronic kidney disease [J]. Abdom Imaging, 2014,39(4):770-775.
- [8] Gaudiano C, Clementi V, Busato F, et al. Diffusion tensor imaging and tractography of the kidneys; assessment of chronic parenchymal diseases[J]. Eur Radiol, 2013, 23(6):1678-1685.
- [9] Hueper K, Gutberlet M, Rodt T, et al. Diffusion tensor imaging and tractography for assessment of renal allograft dysfunction-initial results[J]. Eur Radiol, 2011, 21(11); 2427-2433.
- [10] 冯强,马智军,伍建林,等.健康成年人肾脏不同部位的 DTI 研究 [J].中国医学计算机成像杂志,2013,19(3):231-234.
- [11] Cutajar M, Clayden JD, Clark CA, et al. Test-reliability and repeatability of renal diffusion tensor MRI in healthy subjects[J]. Eur J Radiol, 2011, 80(3):263-268.

(收稿日期:2017-07-01)